HE-nu vs. X-ray archival data association (Last update: 2025.07.23) このページへのリンク

#### (概要)

HE-nuイベントに対する,個々の明示的なフォローアップ観測(既にやられている)に加えて

- ◆ たまたま時間的・空間的に同期していた観測から物理を引き出す
- フォローアップ観測を集めて物理を引き出す

ことを目的に、archival dataの空間的・時間的associationをサーベイした。

● なおデータ自体は(ほとんど)見ないようにしている。(コントロールサンプルを用いて同期判 定のcriteriaを確立した上でデータ解析を行うべきなため)

## (XMM)

XMMとの同期は6つ(<u>リンク</u>)。+/- 1week, <=90arcmin, within RA\_err, DEC\_errという条件 XMMstackに入ってない(当該座標の観測が1回しかない)物も多い。

● 全天サーベイ(または類する大規模サーベイ)で定常的なX線天体とそのfluxを調べ、比較する必要がある。

# (Swift)

- 1) Swiftとの同期はEvans+15(<u>リンク</u>)に、2014.08までのまとめがあるが、IceCatに入っておらず「20回(x数pointing)の観測は全て空振り」。現在では使われてないトリガ条件だったため
- 2) 2016以降のフォローアップは岩切さんがまとめている( $\underline{J} > \underline{D}$ )。2020.06までは7以上のタイリングでHE-nu誤差円をカバー。GCNの報告では「目立ったtransientなし」。

IceCatではオリジナルのアラートから位置がずれることがあるので、辻本スクリプトを使って同期を調べてみた(<u>リンク</u>)。条件は+(0~1day)、<=90arcmin、within RA\_err、DEC\_err

- 以下はダイジェスト
- coverageはSwiftのpointing数 \* 視野(tilingの重なりを適当に考慮)とHE-nuの誤差領域の 比

Name	Туре	Area (deg2)	Swift pointings	coverage	eROSITA DE?
IC111218A	gfu-bronze	76.5	3	0.004	N
IC160731A	hese-bronze	1.23	9	0.767	Υ
IC161103A	hese-bronze	2.78	19	0.716	N
IC170321A	ehe-gold	4.84	8	0.173	Υ
IC170922A	gfu-gold	1.97	16	0.850	Υ
IC171106A	gfu-gold	0.68	16	2.43	N
IC190221A	hese-gold	5.00	29	0.608	N
IC190503A	ehe-gold	1.87	19	1.06	Υ
IC190504A	hese-bronze	3.80	20	0.552	Υ
IC190730A	gfu-gold	7.02	1	0.014	N
IC190922B	gfu-gold	4.13	20	0.508	N
IC200109A	gfu-gold	19.3	28	0.152	Υ
IC200530A	ehe-gold	24.9	16	0.067	N
IC200615A	gfu-gold	5.52	8	0.152	Υ

● <u>2019年まではかなり優秀</u>である。オーバーサンプリングをcoverage=1と見なしても Sum(coverage)は6を超え、purityをかけても2程度以上あるはず。

## (eROSITA vs. ROSAT)

XMMであれSwiftであれ同じ座標は基本的に1回しか見てないので、transientの判定はROSAT(全天サーベイ)およびeROSITA(半球だが高感度)を頼ることになる。感度比較のため、Evans+15 (「空振り」のフォローアップ)で両者を比べてみた(リンク)。

- 以下はダイジェスト。20回のnuアラートに対するフォローアップのうち、#9と#14で5つずつX 線源が報告されている。Swift, ROSAT, eROSITAカタログで対応天体をあたってみた。
- swift fluxは0.3-10keV, rosat fluxは0.1-2.4keV, erosita fluxは0.2-2.3keV。offsetは分角
  - なおeROSITAカタログは2keV以上もカラムがあるが誤差がかなり大きい。5keV以上 は別カタログがあるが数が圧倒的に少ない(1/100以下)。エネルギーバンドの違い には目をつぶって2keV以下で比べる方がよい
  - o swift fluxをrosat, erositaのfluxにしたければ0.44倍すればよい
  - swift\_expで"NA"となっているのは「Evans+15でX線源として報告されていたが、 Swiftカタログでは未検出になっている天体」

src	Swift_exp (s)	swift_flux (cgs)	rosat_o ffset	Rosat_flux (cgs)	erosita_ offset	Erosita_flux (cgs)
9-1	1758	4.38E-13	0.133	1.98E-13	0.104	1.71E-13
9-2	NA		0.372	4.10E-13	0.04	5.08E-14
9-3	1658	2.47E-13	NA		0.147	1.80E-13
9-4	1485	6.09E-13	0.189	4.98E-13	0.045	3.75E-13
9-5	1564	1.96E-13	NA		NA	
14-1	1515	7.10E-13	0.116	3.96E-13	0.041	4.40E-13
14-2	1543	2.48E-13	0.507	2.26E-13	0.112	1.22E-13
14-3	NA		NA		NA	
14-4	1410	5.91E-13	NA		0.084	1.91E-13
14-5	1574	2.33E-13	NA		NA	

- グレーの網掛けは「Swiftソースの対応天体がない・距離が離れすぎて違う」もの。これで分かるようにROSATの方が明らかに感度が悪い。両者で検出できている天体も、eROSITAの 1/3程度のカウントのためfluxの誤差も大きい(2倍弱)。全天でなくてもeROSITAを参照した方がよい
- 緑の網掛けで分かるように、Swift fluxが3E-13以下だとeROSITAで検出が難しくなる( transientと誤判定する確率が高くなる)

#### (まとめ)

以上を踏まえると以下の切り分けがよさそう

- EPで10^-11.5 erg/s/cm2くらいの同期transientをサーチする(世の中でされている気がする)
- Swift-XRTで10^-12.5 erg/s/cm2くらいの同期transientをサーチする(<+1day)
  - 目立ったtransientの報告はない(聞いたことがない)ので上限になる可能性が高いがまずはここから攻めるべき。eROSITAカタログと比較した報告はほとんどないはず。coverageが高く、follow-upの質も揃っているので、上限でも物理の議論に落とし込めるはず。
  - 同期観測(フォローアップ)と同様にコントロールサンプルを解析する。(後者を先に解析)。幸い(?)「Evans+15で扱っている空振り」がよいコントロールサンプルになる。
  - Swiftに強い方に教えていただきたいこと
    - 最新カタログはこれでよいか?
      https://heasarc.gsfc.nasa.gov/W3Browse/swift/swift2sxps.html
    - データ解析(カタログの中身の理解)で気を付けることはあるか?(XMMだと「proton BGが多くて有効な観測がとびとび」「GCDのgapが大きい」など)
- XMMで10^-13.5 erg/s/cm2くらいの同期transientをサーチする(+/-1month)
  - XMMの観測内(or観測間)で変動を判定する必用がある。条件がかなりばらつき、 XMMの特質も踏まえると「尖った」解析が必用になりそう。Swiftの解析の後で取り組 むのがよい

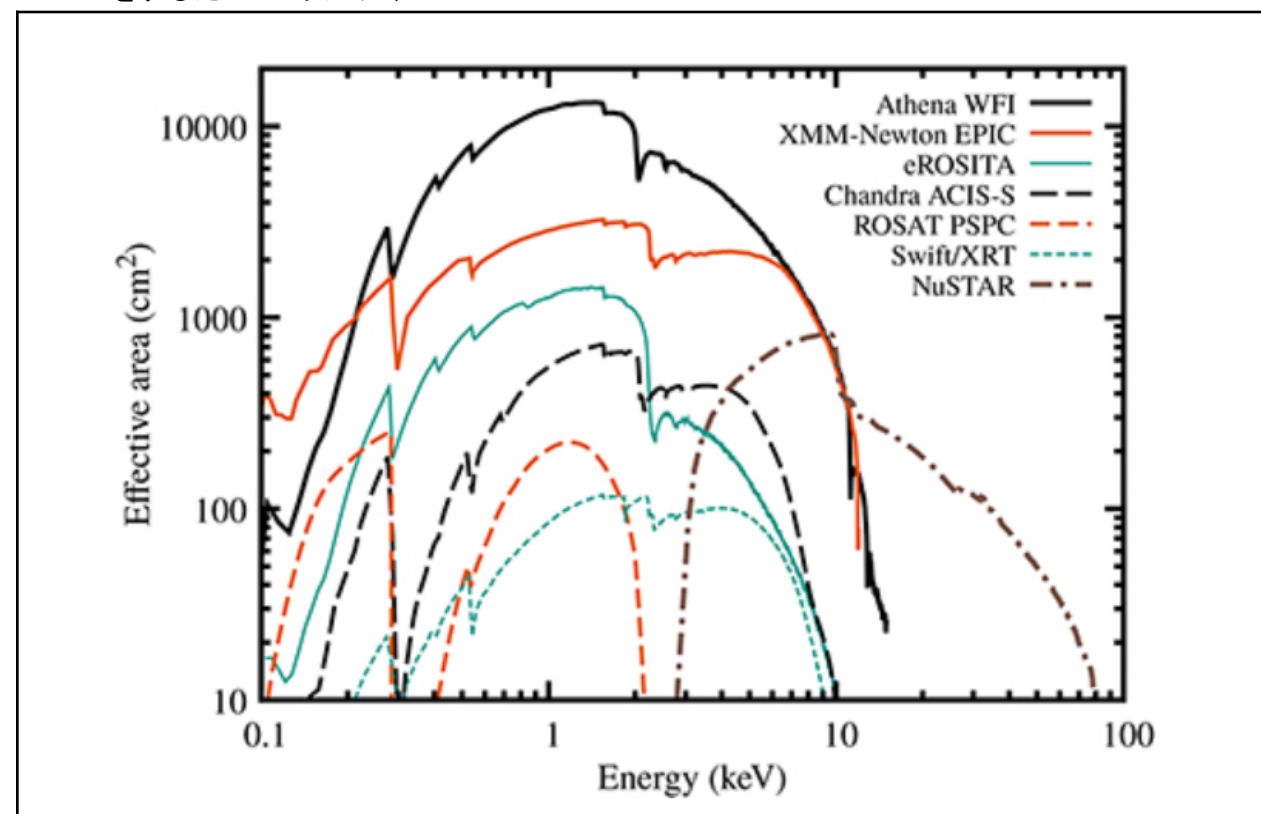
#### 2025.09.19追記

## 感度の比較に使用したカタログ(論文へのリンクもあり)

- 2SXPS: https://heasarc.gsfc.nasa.gov/W3Browse/swift/swift2sxps.html
- 2RXS: https://heasarc.gsfc.nasa.gov/W3Browse/rosat/rass2rxs.html
- 1eRASS: https://heasarc.gsfc.nasa.gov/W3Browse/all/erass1main.html

### X線ミッションの有効面積(検出器の効率込み)の比較

● eROSITAが2.3keV以下に強いミッションなことが分かる。また視野はSwiftが23' x 23', XMM が直径30', eROSITAが直径1degである。(2.3keV以下でAeff \* FOVを最大にしてサーベイ をするためのミッション)



**Figure 6.7.** Effective area curves as a function of energy of the main past, current, and future X-ray missions. The effective area shown includes the telescope response, optical blocking filters, and detector quantum efficiency. For eROSITA and NuSTAR, the combined response of all seven and two telescopes are shown, respectively. For XMM-Newton, the three telescopes and EPIC detectors are combined. The low-energy response of Chandra ACIS has decreased significantly over time, and the curve shown corresponds to that of 2008. Data from PIMMS (Mukai 1993), CXC (https://cxc.harvard.edu/proposer/), and SIXTE (Dauser et al. 2019).